
Хмельник С. И.

Электромагнитная волна в проводе переменного тока

Аннотация

Предлагается решение уравнений Максвелла для провода переменного тока. Рассматривается структура токов и потоков энергии.

Оглавление

1. Введение
 2. Решение системы уравнений Максвелла
 3. Напряженности и токи в проводе
 4. Потоки энергии
 5. Ток и поток энергии в проводе
 6. Обсуждение
- Приложение 1
Литература

1. Вступление

В [1] дано непротиворечивое решение уравнений Максвелла для вакуума. Ниже предлагается аналогичное решение уравнений Максвелла для провода переменного тока.

Уравнения Максвелла в общем случае в системе СГС имеют вид [2]:

$$\operatorname{rot}(E) + \frac{\mu}{c} \frac{\partial H}{\partial t} = 0, \quad (1)$$

$$\operatorname{rot}(H) - \frac{\varepsilon}{c} \frac{\partial E}{\partial t} - \frac{4\pi}{c} J = 0, \quad (2)$$

$$\operatorname{div}(E) = 0, \quad (3)$$

$$\operatorname{div}(H) = 0, \quad (4)$$

$$J = \frac{1}{\rho} E, \quad (5)$$

где

J , H , E - ток проводимости, магнитная и электрическая напряженности соответственно,

ε, μ, ρ - диэлектрическая проницаемость, магнитная проницаемость, удельное сопротивление материала провода.

Далее эти уравнения применяются для анализа структуры переменного тока в проводе. При синусоидальном токе в проводе с удельной индуктивностью L и удельным сопротивлением ρ напряженность и ток связаны соотношением вида

$$J = \frac{1}{\rho + i\omega L} E = \frac{\rho - i\omega L}{\rho^2 + (\omega L)^2} E.$$

Отсюда при $\rho \ll \omega L$ находим:

$$I \approx \frac{-i}{\omega L} E.$$

Следовательно, для анализа структуры синусоидального тока в проводе при достаточно высокой частоте условием (5) можно пренебрегать. При этом необходимо решать систему уравнений (1-4), где известен ток J_z , протекающий вдоль провода, т.е. проекция вектора J на ось oz .

2. Решение системы уравнений Максвелла

Рассмотрим решение системы уравнений Максвелла (1.1-1.4) для провода. В системе цилиндрических координат r, φ, z эти уравнения имеют вид [3]:

$$\frac{E_r}{r} + \frac{\partial E_r}{\partial r} + \frac{1}{r} \cdot \frac{\partial E_\varphi}{\partial \varphi} + \frac{\partial E_z}{\partial z} = 0, \quad (1)$$

$$\frac{1}{r} \cdot \frac{\partial E_z}{\partial \varphi} - \frac{\partial E_\varphi}{\partial z} = v \frac{dH_r}{dt}, \quad (2)$$

$$\frac{\partial E_r}{\partial z} - \frac{\partial E_z}{\partial r} = v \frac{dH_\varphi}{dt}, \quad (3)$$

$$\frac{E_\varphi}{r} + \frac{\partial E_\varphi}{\partial r} - \frac{1}{r} \cdot \frac{\partial E_r}{\partial \varphi} = v \frac{dH_z}{dt}, \quad (4)$$

$$\frac{H_r}{r} + \frac{\partial H_r}{\partial r} + \frac{1}{r} \cdot \frac{\partial H_\varphi}{\partial \varphi} + \frac{\partial H_z}{\partial z} = 0, \quad (5)$$

$$\frac{1}{r} \cdot \frac{\partial H_z}{\partial \varphi} - \frac{\partial H_\varphi}{\partial z} = q \frac{dE_r}{dt} \quad (6)$$

$$\frac{\partial H_r}{\partial z} - \frac{\partial H_z}{\partial r} = q \frac{dE_\varphi}{dt}, \quad (7)$$

$$\frac{H_\varphi}{r} + \frac{\partial H_\varphi}{\partial r} - \frac{1}{r} \cdot \frac{\partial H_r}{\partial \varphi} = q \frac{dE_z}{dt} + \frac{4\pi}{c} J_z. \quad (8)$$

где

$$v = -\mu/c, \quad (9)$$

$$q = \varepsilon/c, \quad (10)$$

Далее рассматривается только монохроматическое решение. Для сокращения записи в дальнейшем будем применять следующие обозначения:

$$co = \cos(\alpha\varphi + \chi z + \omega t), \quad (11)$$

$$si = \sin(\alpha\varphi + \chi z + \omega t), \quad (12)$$

где α , χ , ω – некоторые константы.

Представим неизвестные функции в следующем виде:

$$H_r = h_r(r)co, \quad (13)$$

$$H_\varphi = h_\varphi(r)si, \quad (14)$$

$$H_z = h_z(r)si, \quad (15)$$

$$E_r = e_r(r)si, \quad (16)$$

$$E_\varphi = e_\varphi(r)co, \quad (17)$$

$$E_z = e_z(r)co, \quad (18)$$

$$J_r = j_r(r)co, \quad (19)$$

$$J_\varphi = j_\varphi(r)si, \quad (20)$$

$$J_z = j_z(r)si, \quad (21)$$

где $h(r)$, $e(r)$, $j(r)$ - некоторые функции координаты r .

Непосредственной подстановкой можно убедиться, что функции (13-21) преобразуют систему уравнений (1-8) с четырьмя аргументами r , φ , z , t в систему уравнений с одним аргументом r и неизвестными функциями $h(r)$, $e(r)$, $j(r)$.

Далее предполагается, что существует только ток (21), направленный вдоль оси z . Этот ток создается внешним источником. Показывается, что наличие этого тока является причиной существования электромагнитной волны в проводе.

В приложении 1 показано, что у системы (1.1-1.4) при условиях (13-21) **существует** решение, имеющее следующий вид:

$$e_\varphi(r) = Ar^{\alpha-1}, \quad (22)$$

$$e_r(r) = e_\varphi(r), \quad (23)$$

$$e_z(r) = \hat{\chi} \frac{(M-1) \omega \sqrt{\varepsilon\mu}}{\sqrt{M}} \frac{1}{\alpha c} r e_\varphi(r), \quad (24)$$

$$h_r(r) = \hat{\chi} \sqrt{\frac{\varepsilon}{M\mu}} e_\varphi(r), \quad (25)$$

$$h_\varphi(r) = -h_r(r), \quad (26)$$

$$h_z(r) = 0, \quad (27)$$

$$j_z(r) = \frac{\varepsilon\omega}{4\pi} e_z(r) = \frac{\chi\varepsilon\omega}{2\pi\alpha} A r^\alpha, \quad (28)$$

где A, c, α, ω – константы.

Сравним решение это решение, и решение, полученное в [1] для вакуума – см. табл. 1. Видно, что (несмотря на идентичность уравнений) эти решения существенно отличаются. Эти различия вызваны наличием внешней электродвижущей силы, в которой $e_z(r) \neq 0$. Она вызывает продольный ток, который существенно изменяет структуру электромагнитной волны.

Таблица 1.

	глава 1	глава 2
χ	$\hat{\chi} \frac{\omega}{c} \sqrt{\varepsilon\mu}$	$\hat{\chi} \frac{\omega}{c} \sqrt{M\varepsilon\mu}, \hat{\chi} = \pm 1$
j_z	$\mathbf{0}$	$\frac{\varepsilon\omega}{4\pi} e_z(r)$
e_r	$A r^{\alpha-1}$	$A r^{\alpha-1}$
e_φ		
e_z	$\mathbf{0}$	$\hat{\chi} \frac{(M-1) \omega \sqrt{\varepsilon\mu}}{\sqrt{M}} \frac{1}{\alpha c} r e_\varphi(r)$
h_r	$-e_\varphi(r)$	$\hat{\chi} \sqrt{\frac{\varepsilon}{M\mu}} e_\varphi(r)$
h_φ	$-h_r(r)$	$-h_r(r)$
h_z	$\mathbf{0}$	$\mathbf{0}$

3. Напряженности и токи в проводе

Далее мы будем рассматривать только функции $j_z(r)$, $e_r(r)$, $e_\varphi(r)$, $e_z(r)$, $h_r(r)$, $h_\varphi(r)$, $h_z(r)$. Все величины приводятся в системе СГС.

На рис. 1 показаны, например, графики этих функций при $A=1$, $\alpha=3$, $\mu=1$, $\varepsilon=1$, $\omega=300$. Величина $j_z(r)$ показана в единицах $(A/мм^2)$ – в отличие от всех остальных величин, показанных в системе СГС. Увеличение функции $j_z(r)$ при увеличении радиуса объясняет скин-эффект.

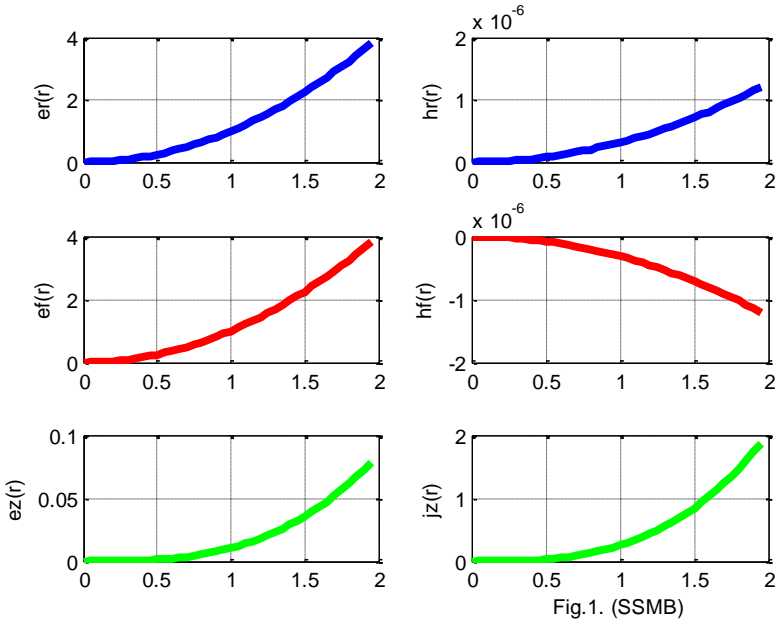


Fig.1. (SSMB)

Плотность энергии электромагнитной волны определяется как сумма модулей векторов E , H из (2.13, 2.14, 2.16, 2.17, 2.23, 2.24) и равна

$$W = E^2 + H^2 = (e_r(r)si)^2 + (e_\varphi(r)si)^2 + (h_r(r)co)^2 + (h_\varphi(r)co)^2$$

или

$$W = (e_r(r))^2 + (e_\varphi(r))^2 \tag{1}$$

- см. также рис. 1. Таким образом, плотность энергии электромагнитной волны постоянна на всех точках окружности данного радиуса.

На рис. 2 для демонстрации сдвига фаз между компонентами волны показаны функции

$$co = \cos(\alpha\varphi + \chi z + \omega t), \quad si = \sin(\alpha\varphi + \chi z + \omega t)$$

или эквивалентные им при $z = ct$ функции

$$co = \cos\left(\alpha\varphi + \frac{2\omega}{c} z\right), \quad si = \sin\left(\alpha\varphi + \frac{2\omega}{c} z\right) \quad (4a)$$

или

$$co = \cos(\alpha\varphi + 2\chi z), \quad si = \sin(\alpha\varphi + 2\chi z) \quad (4b)$$

При $\varphi = 0$, $2\omega/c = 0.1$ эти функции принимают вид $co = \cos(z)$, $si = \sin(z)$ и показаны на рис. 2.

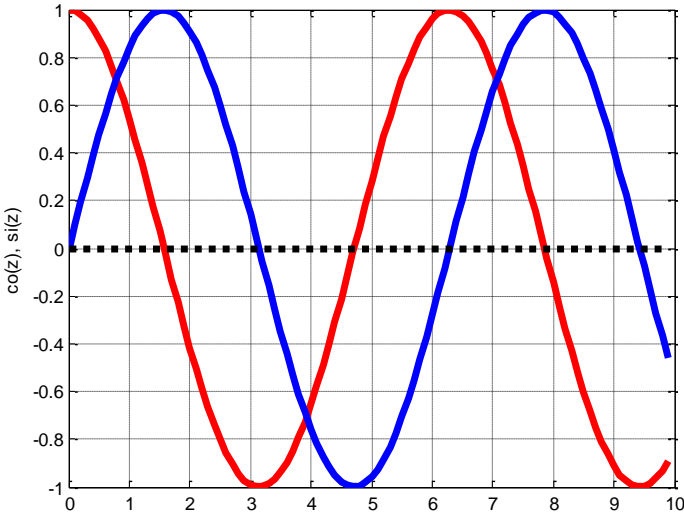


Fig.2. (SSMB)

Найдем среднее значение плотности амплитуды тока в проводе с радиусом R:

$$\overline{J_z} = \frac{1}{\pi R^2} \iint_{r, \varphi} [J_z] dr \cdot d\varphi. \quad (5)$$

С учетом (2.21) найдем:

$$\overline{J_z} = \frac{1}{\pi R^2} \iint_{r, \varphi} [j_z(r) si] dr \cdot d\varphi \quad (5a)$$

Далее найдем:

$$\overline{J_z} = \frac{1}{\pi R^2} \int_0^R j_z(r) \left(\int_0^{2\pi} (si \cdot d\varphi) \right) dr \cdot$$

С учетом (2) найдем:

$$\overline{J_z} = \frac{1}{\alpha\pi R^2} \int_0^R j_z(r) \left(\cos\left(2\alpha\pi + \frac{2\omega}{c}z\right) - \cos\left(\frac{2\omega}{c}z\right) \right) dr$$

или

$$\overline{J_z} = \frac{1}{\alpha\pi R^2} (\cos(2\alpha\pi) - 1) \cdot J_{zr}, \quad (6)$$

где

$$J_{zr} = \int_0^R j_z(r) dr. \quad (7)$$

С учетом (2.28) найдем:

$$J_{zr} = \frac{A\chi\varepsilon\omega}{2\pi\alpha} \int_0^R (r^\alpha) dr \quad (9)$$

или

$$J_{zr} = \frac{A\chi\varepsilon\omega}{2\pi\alpha(\alpha+1)} R^{\alpha+1}. \quad (10)$$

На рис. 3 показана функция $\overline{J_z}(\alpha)$ (6, 10) при $A=1$, $\chi=0.03$. На этом рисунке пунктирная и сплошная кривые относятся соответственно к $R=2$ и $R=1.75$. Из (6, 8) и рис. 3 следует, что при определенном распределении величины $j_z(r)$ среднее значение плотности амплитуды тока $\overline{J_z}$ существенно зависит от α .

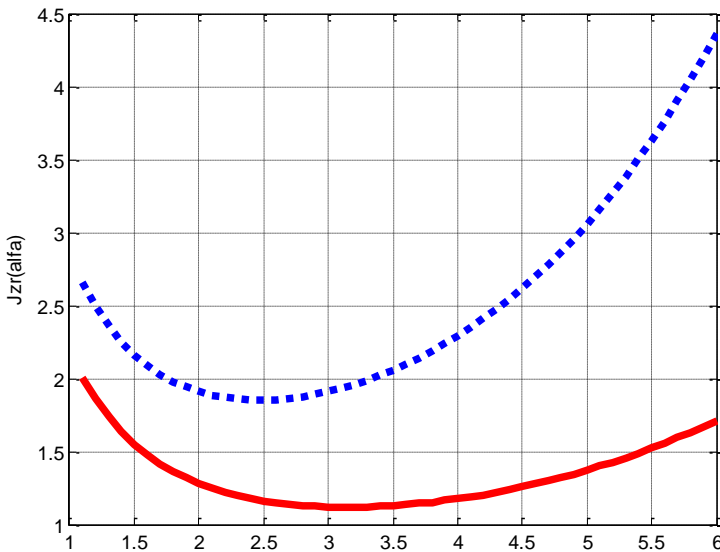


Fig.3. (SSMB)

Ток определяется как

$$J = \frac{\varepsilon}{c} \frac{\partial E}{\partial t}, \quad (9)$$

или, с учетом (2.13-2.21):

$$J_r = \frac{\varepsilon\omega}{c} e_r(r) \cos, \quad (10)$$

$$J_\varphi = \frac{\varepsilon\omega}{c} e_\varphi(r) \sin, \quad (11)$$

$$J_z = \left(\frac{\varepsilon\omega}{c} e_z(r) + j_z \right) \sin. \quad (12)$$

Можно говорить о линиях этих токов. Так, например, ток J_z течет по прямым, параллельным оси провода. Мы рассмотрим линию суммарного тока.

Можно полагать, что скорость распространения тока смещения не зависит от направления тока. В частности, при фиксированном радиусе путь, пройденный током по окружности, и путь, пройденный им по вертикали будут равны. Следовательно, при фиксированном радиусе можно полагать, что

$$z = \gamma \cdot \varphi \quad (13)$$

где γ – константа. На основе этого предположения можно преобразовать функции (4в) к виду

$$\cos = \cos(\alpha\varphi + 2\gamma\varphi), \quad \sin = \sin(\alpha\varphi + 2\gamma\varphi) \quad (14)$$

и построить соответствующую траекторию тока.

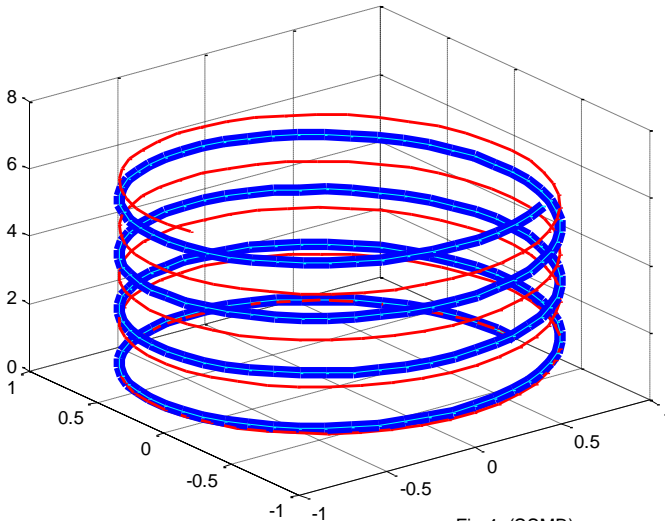


Fig.4. (SSMB)

На рис. 4 показаны две винтовые линии суммарного тока, описываемые функциями вида

$$co = \cos((\alpha + 2)\varphi), \quad si = \sin((\alpha + 2)\varphi).$$

На рис. 4 толстая линия построена при $\alpha = 1.8$, а тонкая линия - при $\alpha = 2.5$.

Из (2.19-2.21, 14) следует, что токи будут сохранять свою величину при данных r, φ (независимо от z) в том случае, если постоянной является величина

$$\beta = (\alpha + 2\chi\gamma). \quad (15)$$

Далее на основе (14, 15) будем применять формулы

$$co = \cos(\beta\varphi), \quad si = \sin(\beta\varphi). \quad (16)$$

4. Потоки энергии

Плотность потока электромагнитной энергии – вектор Пойнтинга определяется формулой

$$S = \eta E \times H, \quad (1)$$

где

$$\eta = c/4\pi. \quad (2)$$

В цилиндрических координатах r, φ, z плотность потока электромагнитной энергии имеет три компоненты S_r, S_φ, S_z , направленные вдоль радиуса, по окружности, вдоль оси соответственно. Они определяются по формуле

$$S = \begin{bmatrix} S_r \\ S_\varphi \\ S_z \end{bmatrix} = \eta(E \times H) = \eta \begin{bmatrix} E_\varphi H_z - E_z H_\varphi \\ E_z H_r - E_r H_z \\ E_r H_\varphi - E_\varphi H_r \end{bmatrix}. \quad (4)$$

Из (2.13-2.18) следует, что поток, проходящий через данное сечение провода в данный момент времени,

$$\bar{S} = \begin{bmatrix} \bar{S}_r \\ \bar{S}_\varphi \\ \bar{S}_z \end{bmatrix} = \eta \iint_{r,\varphi} \begin{bmatrix} s_r \cdot si^2 \\ s_\varphi \cdot si \cdot co \\ s_z \cdot si \cdot co \end{bmatrix} dr \cdot d\varphi. \quad (5)$$

где

$$\begin{aligned} s_r &= (e_\varphi h_z - e_z h_\varphi) \\ s_\varphi &= (e_z h_r - e_r h_z). \\ s_z &= (e_r h_\varphi - e_\varphi h_r) \end{aligned} \quad (6)$$

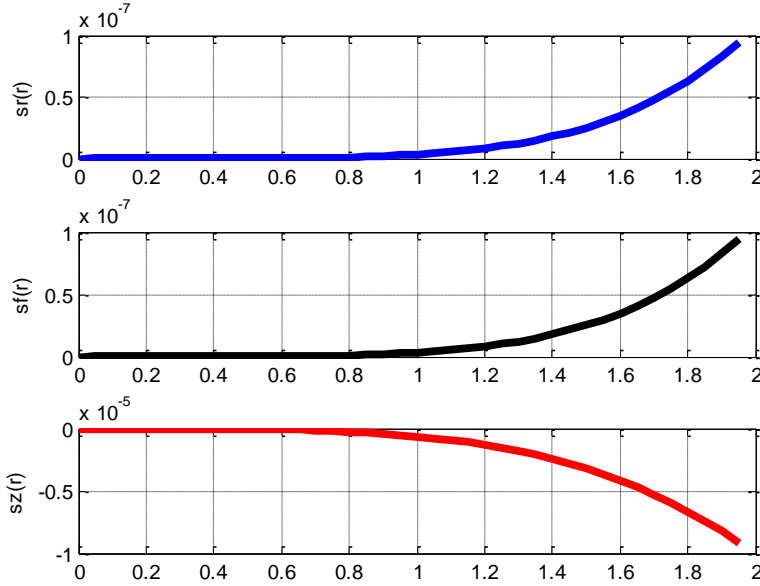


Fig.5. (SSMB)

Этим величинам равна плотность того потока энергии, который при данном радиусе распространяется по радиусу, по окружности и вдоль оси OZ соответственно. На рис. 5 показаны графики этих функций в зависимости от радиуса при $A=1$, $\alpha=3$, $\mu=1$, $\varepsilon=1$, $\omega=300$.

Поток энергии вдоль оси OZ и равен

$$\bar{S}_z = \eta \iint_{r, \varphi} [s_z \cdot si \cdot co] dr \cdot d\varphi. \quad (7)$$

Найдем s_z . Из (6, 2.22, 2.23, 2.26) получаем:

$$s_z = -2e_\varphi h_r = -\hat{\chi} \sqrt{\frac{\varepsilon}{M\mu}} e_\varphi^2(r) \quad (9)$$

или

$$s_z = Q r^{2\alpha-2}, \quad (10)$$

где

$$Q = A^2 \hat{\chi} \sqrt{\frac{\varepsilon}{M\mu}} \quad (11)$$

В приложении 2 из [1] показано, что из (7) следует, что

$$\bar{S} = \frac{c}{16\alpha\pi} (1 - \cos(4\alpha\pi)) \int_r (s_z(r) dr). \quad (12)$$

Пусть R – радиус цилиндрического провода. Тогда из (12) получаем, как в главе 1,

$$S_{\text{int}} = \int_{r=0}^R (s_z(r) dr) = \frac{Q}{2\alpha - 1} R^{2\alpha - 1}, \quad (13)$$

$$S_{\text{alfa}} = \frac{1}{\alpha} (1 - \cos(4\alpha\pi)), \quad (14)$$

$$\bar{S} = \frac{c}{16\pi} S_{\text{alfa}} S_{\text{int}}. \quad (15)$$

Объединяя формулы (11-15), получаем:

$$\bar{S}_z = \frac{c}{16\pi} \frac{1}{\alpha} (1 - \cos(4\alpha\pi)) A^2 \sqrt{\frac{\varepsilon}{M\mu}} \frac{\hat{\chi}}{2\alpha - 1} R^{2\alpha - 1}$$

или

$$\bar{S}_z = \frac{\hat{\chi} A^2 c (1 - \cos(4\alpha\pi))}{8\pi\alpha(2\alpha - 1)} \sqrt{\frac{\varepsilon}{M\mu}} R^{2\alpha - 1}. \quad (16)$$

Этот поток энергии не зависит от координаты и потому сохраняет свое значение на протяжении всего провода.

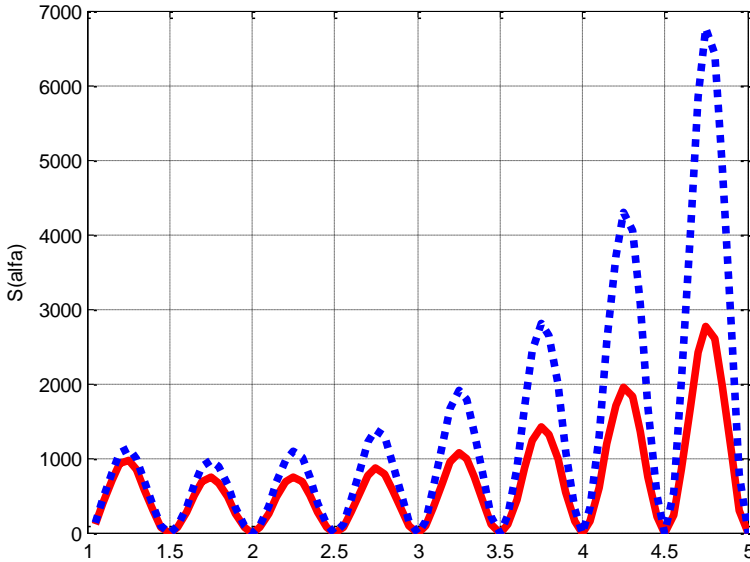


Fig.7. (SSMB)

На рис. 7 показана функция $\bar{S}(\alpha)$ (16) при $A=1$, $M=10^{13}$, $\mu=1$, $\varepsilon=1$. На рис. 7 пунктирная и сплошная кривые относятся соответственно к $R=2$ и $R=1.8$.

Поскольку поток энергии и энергия связаны соотношением $S = W \cdot c$, то из (15) можно найти энергию в единице длины провода:

$$\bar{W} = \frac{A}{16\pi} S_{alfa} S_{int}. \quad (17)$$

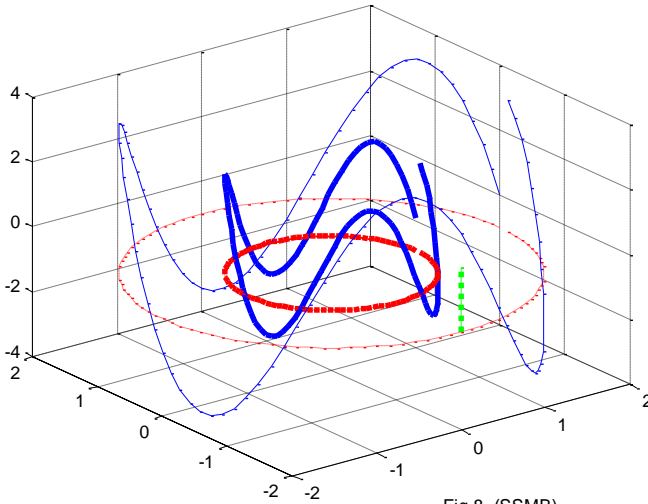


Fig.8. (SSMB)

Как следует из (7, 3.16), плотность потока энергии на окружности данного радиуса определяется функцией вида

$$\bar{S}_{rz} = s_z \sin(2\beta\varphi). \quad (18)$$

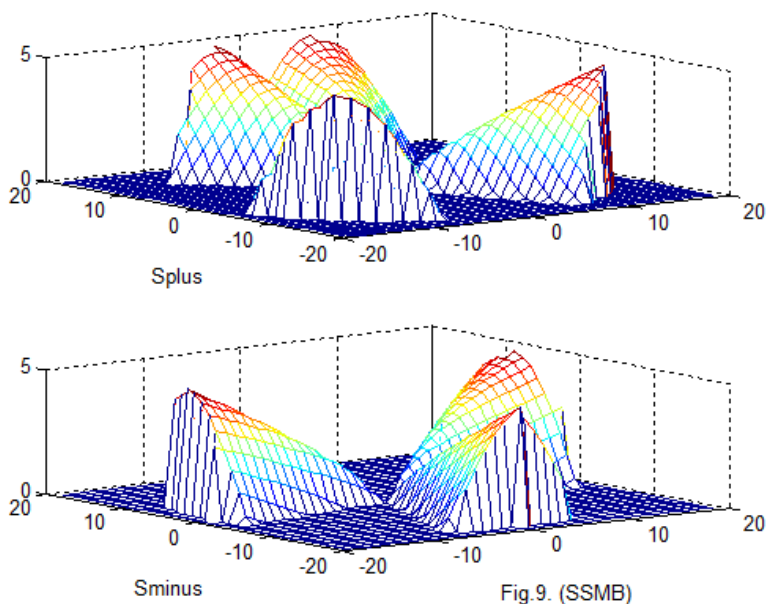
На рис. 8 показана функция (18) при $s_z = r^{2\alpha-2}$ - см. (10). Показаны две кривые при $\alpha = 1.4$ и двух значениях радиуса: $r = 1$ (толстая линия) и $r = 2$ (тонкая линия).

На рис. 9 показана функция S (18) на всей плоскости сечения провода при $s_z = r^{2\alpha-2}$ и $\alpha = 1.4$. При этом в верхнем окне показана та часть графика функции S , где $S > 0$ - **Splus**, а в нижнем окне показана та часть графика функции S , где $S < 0$ - **Sminus**, причем эта часть для наглядности показана с обратным знаком. На этом рисунке видно, что

$$S = S_{plus} + S_{minus} > 0,$$

т.е. суммарный вектор плотности потока направлен в сторону увеличения z - в сторону нагрузки. Однако существуют две составляющие этого вектора: составляющая **Splus**, направленная в сторону нагрузки, и составляющая **Sminus**, направленная в сторону

источника тока. Эти составляющие потока переносят активную и реактивную энергию соответственно.



Итак,

- плотность потока неравномерно распределена по сечению потока – существует картина распределения плотности потока по сечению провода;
- эта картина сохраняется при перемещении по оси OZ;
- поток энергии (15), проходящий через площадь сечения, не зависит от t, z и это соответствует закону сохранения энергии,
- поток энергии имеет две противоположно направленные составляющие, которые переносят активную и реактивную энергии; таким образом, отсутствует необходимость в представлении мнимого вектора Пойнтинга.

5. Ток и поток энергии в проводе

Можно сказать, что поток массовых частиц (массовый ток) "*несёт*" поток кинетической энергии, которая выделяется при столкновении с преградой. Точно также электрический ток "*несёт*" поток электромагнитной энергии, которая выделяется в нагрузке. Это утверждение обсуждается и обосновывается в [4-9].

между этими двумя случаями состоит в том, что величина массового тока полностью определяет величину кинетической энергии. Однако во втором случае величина электрического тока НЕ определяет величину электромагнитной энергии, которая выделяется в нагрузке. Следовательно, переносимая величина электромагнитной энергии – поток энергии определяется структурой тока. Покажем это.

Как следует из (3.10), среднее значение плотности амплитуды тока $\overline{J_z}$ в проводе с данным радиусом R зависит от двух параметров: α и A . При данной плотности можно найти зависимость между этими параметрами, которая следует из (3.10):

$$A = \frac{2\pi\alpha(\alpha+1)}{\chi\varepsilon\omega} R^{-\alpha-1} J_{zr}. \quad (1)$$

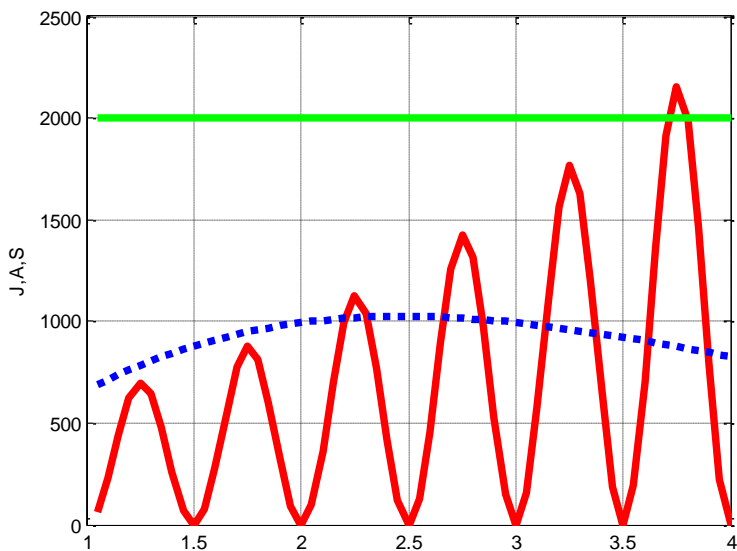


Fig.10. (SSMB)

Как следует из (4.16), плотность потока энергии S вдоль провода также зависит от двух параметров: α и A . На рис. 10 показаны зависимости (1) и (4.16) при данных $\overline{J_z} = 2$, $R = 2$. При этом прямая линия изображает постоянную плотность тока (в масштабе 1000), сплошная линия – плотность потока, пунктирная линия – параметр A (в масштабе 1000). Здесь A вычисляется по (1), плотность потока энергии S по (4.16) при данном A . Видно, что при одной и той же плотности тока плотность потока может принимать совершенно различные значения.

6. Обсуждение

Показано, что в проводе переменного тока распространяется электромагнитная волна, а математическое описание этой волны является решение уравнений Максвелла.

Это решение во многом совпадает с тем, которое ранее найдено для электромагнитной волны, распространяющейся в вакууме [1].

Оказалось, что ток распространяется в проводе по спиральной траектории, а плотность спирали зависит от плотности потока электромагнитной энергии, передаваемой по проводу в нагрузку, т.е. от передаваемой мощности. При этом основной поток энергии распространяется вдоль и внутри провода.

Приложение 1.

Рассматривается решение уравнений (2.1-2.8) в виде функций (2.13-2.18). Далее производные по r будем обозначать штрихами. Перепишем уравнения (2.1-2.8) с учетом (2.11, 2.12) в виде

$$\frac{e_r(r)}{r} + e'_r(r) - \frac{e_\varphi(r)}{r} \alpha - \chi \cdot e_z(r) = 0, \quad (1)$$

$$-\frac{1}{r} \cdot e_z(r) \alpha + e_\varphi(r) \chi - \frac{\mu\omega}{c} h_r = 0, \quad (2)$$

$$e_r(r) \chi - e'_z(r) + \frac{\mu\omega}{c} h_\varphi = 0, \quad (3)$$

$$\frac{e_\varphi(r)}{r} + e'_\varphi(r) - \frac{e_r(r)}{r} \cdot \alpha + \frac{\mu\omega}{c} h_z = 0, \quad (4)$$

$$\frac{h_r(r)}{r} + h'_r(r) + \frac{h_\varphi(r)}{r} \alpha + \chi \cdot h_z(r) = 0, \quad (5)$$

$$\frac{1}{r} \cdot h_z(r) \alpha - h_\varphi(r) \chi - \frac{\varepsilon\omega}{c} e_r = 0, \quad (6)$$

$$-h_r(r) \chi - h'_z(r) + \frac{\varepsilon\omega}{c} e_\varphi = 0, \quad (7)$$

$$\frac{h_\varphi(r)}{r} + h'_\varphi(r) + \frac{h_r(r)}{r} \cdot \alpha + \frac{\varepsilon\omega}{c} e_z(r) = \frac{4\pi}{c} j_z(r), \quad (8)$$

Умножим (5) на $\left(-\frac{\mu\omega}{c\chi}\right)$. Тогда получим:

$$-\frac{\mu\omega}{c\chi} \frac{h_r(r)}{r} - \frac{\mu\omega}{c\chi} h'_r(r) - \frac{\mu\omega}{c\chi} \frac{h_\varphi(r)}{r} \alpha - \frac{\mu\omega}{c} h_z(r) = 0. \quad (9)$$

Сравнивая (4) и (9), замечаем, что они совпадают, если

$$\left\{ \begin{array}{l} h_z \neq 0 \\ -\frac{\mu \cdot \omega}{c\chi} h_\varphi(r) = e_r(r), \\ \frac{\mu \cdot \omega}{c\chi} h_r(r) = e_\varphi(r), \end{array} \right\} \quad (9a)$$

или, если

$$\left\{ \begin{array}{l} h_z = 0, \\ -M \frac{\mu \cdot \omega}{c\chi} h_\varphi(r) = e_r(r), \\ M \frac{\mu \cdot \omega}{c\chi} h_r(r) = e_\varphi(r), \end{array} \right\} \quad (9b)$$

где - M - константа. Далее будем пользоваться формулами

$$-M \frac{\mu \cdot \omega}{c\chi} h_\varphi(r) = e_r(r), \quad (10)$$

$$M \frac{\mu \cdot \omega}{c\chi} h_r(r) = e_\varphi(r), \quad (11)$$

где - $M = 1$ для случая (9a). Перепишем (2, 3, 6, 7) в виде:

$$e_z(r) = \frac{\chi r}{\alpha} e_\varphi(r) - \frac{r}{\alpha} \frac{\mu \omega}{c} h_r(r), \quad (12)$$

$$e'_z(r) = e_r(r)\chi + \frac{\mu \omega}{c} h_\varphi(r), \quad (13)$$

$$h_z(r) = \frac{\chi r}{\alpha} h_\varphi(r) + \frac{r}{\alpha} \frac{\varepsilon \cdot \omega}{c} e_r(r), \quad (14)$$

$$h'_z(r) = -h_r(r)\chi + \frac{\varepsilon \cdot \omega}{c} e_\varphi(r), \quad (15)$$

Подставим (10, 11) в уравнения (12, 13). Тогда получим:

$$e_z(r) = \left(\chi - \frac{\chi}{M} \right) \frac{r}{\alpha} e_\varphi(r) = \frac{(M-1)\chi r}{M\alpha} e_\varphi(r), \quad (16)$$

$$e'_z(r) = \left(\chi - \frac{\chi}{M} \right) e_r(r)\chi = \frac{(M-1)\chi}{M} \chi e_r(r). \quad (17)$$

Подставим (10, 11) в уравнения (14, 15). Тогда получим:

$$h_z(r) = \left(\chi - M \frac{\varepsilon \cdot \omega}{c} \frac{\mu \cdot \omega}{c\chi} \right) \frac{r}{\alpha} h_\varphi(r) = \frac{r}{\alpha c^2 \chi} (c^2 \chi^2 - M \varepsilon \mu \omega^2) h_\varphi(r), \quad (18)$$

$$h'_z(r) = \left(-\chi + M \frac{\varepsilon \cdot \omega}{c} \frac{\mu \cdot \omega}{c\chi} \right) h_r(r) = \frac{-1}{c^2 \chi} (c^2 \chi^2 - M \varepsilon \mu \omega^2) h_r(r). \quad (19)$$

Дифференцируя (16) и сравнивая с (17), находим:

$$\frac{(M-1)}{M} \frac{\chi}{\alpha} (re_\varphi(r))' = \frac{(M-1)}{M} \chi e_r(r)$$

или

$$(re_\varphi(r))' = \alpha e_r(r)$$

или

$$(e_\varphi(r) + r \cdot e'_\varphi(r)) = \alpha e_r(r). \quad (20)$$

Из (1, 16) находим:

$$\frac{e_r(r)}{r} + e'_r(r) - \frac{e_\varphi(r)}{r} \alpha - \frac{(M-1)}{M} \chi^2 \frac{r}{\alpha} e_\varphi(r) = 0 \quad (23)$$

Из физических соображений следует принять, что

$$h_z(r) = 0. \quad (24)$$

Тогда из (18) находим:

$$(c^2 \chi^2 - M \varepsilon \mu \omega^2) = 0$$

или

$$\chi = \hat{\chi} \frac{\omega}{c} \sqrt{M \varepsilon \mu}, \quad \hat{\chi} = \pm 1. \quad (25)$$

Из (16, 25) находим:

$$e_z(r) = (M-1) \frac{\chi r}{\alpha} e_\varphi(r) = \frac{(M-1)}{M} \hat{\chi} \frac{\omega}{c} \sqrt{M \varepsilon \mu} \frac{r}{\alpha} e_\varphi(r)$$

или

$$e_z(r) = \hat{\chi} \frac{(M-1)}{\sqrt{M}} \frac{\omega \sqrt{\varepsilon \mu}}{\alpha c} r e_\varphi(r) \quad (25a)$$

При $\omega \ll c$ из (25) находим, что

$$|\chi| \ll 1. \quad (26)$$

Тогда в уравнении (23) величиной χ^2 можно пренебречь и получить уравнение вида

$$\alpha \cdot e_\varphi(r) = e_r(r) + r \cdot e'_r(r). \quad (27)$$

Из (27, 20) в силу симметрии находим:

$$e_r(r) = e_\varphi(r), \quad (28)$$

$$\alpha \cdot e_\varphi(r) = e_\varphi(r) + r \cdot e'_\varphi(r). \quad (29)$$

Решение этого уравнения имеет вид:

$$e_\varphi(r) = Ar^{\alpha-1}, \quad (30)$$

что можно проверить подстановкой (30) в (29). Из (11, 25) находим

$$h_r(r) = \hat{\chi} \sqrt{\frac{\varepsilon}{M\mu}} e_\varphi(r), \quad (31)$$

а из (10, 28) находим

$$h_\varphi(r) = -h_r(r). \quad (32)$$

Наконец, из (8, 32) находим

$$j_z(r) = \frac{c}{4\pi} \left(-\frac{h_r(r)}{r} - h'_r(r) + \frac{h_r(r)}{r} \cdot \alpha + \frac{\varepsilon\omega}{c} e_z(r) \right) \quad (33)$$

С учетом (30,31) замечаем, что сумма первых трех слагаемых равна нулю, и тогда

$$j_z(r) = \frac{\varepsilon\omega}{4\pi} e_z(r). \quad (34)$$

Итак, окончательно получаем:

$$e_\varphi(r) = Ar^{\alpha-1}, \quad (30)$$

$$e_r(r) = e_\varphi(r), \quad (28)$$

$$e_z(r) = \hat{\chi} \frac{(M-1)\omega\sqrt{\varepsilon\mu}}{\sqrt{M}\alpha c} r e_\varphi(r) \quad (25a)$$

$$h_r(r) = \hat{\chi} \sqrt{\frac{\varepsilon}{M\mu}} e_\varphi(r), \quad (31)$$

$$h_\varphi(r) = -h_r(r), \quad (32)$$

$$h_z(r) = 0, \quad (24)$$

$$j_z(r) = \frac{\varepsilon\omega}{4\pi} e_z(r). \quad (34)$$



Fig.0. (SSMB)

Точность решения

Для анализа точности решения можно при данных значениях всех констант найти невязки уравнений (1-7). На рис. 0 показана зависимость логарифма среднеквадратичной невязки N от параметра α - $\ln N = f(\alpha)$ при $A = 1$, $\omega = 300$, $\mu = 1$, $\varepsilon = 1$.

Литература

Примечание: **Vixra** - viXra Funding, <http://vixra.org/funding>,
DNA – Доклады независимых авторов,
ISSN 2225-6717, <http://dna.izdatelstwo.com/>

1. Хмельник С.И. Второе решение уравнений Максвелла, ViXra, 2016-01-26, <http://vixra.org/abs/1601.0292>; DNA, № 35, 2016 - см. [здесь](#).
2. Розанов Н.Н. Специальные разделы математической физики. Часть 3. Электромагнитные волны в вакууме. ИТМО. Санкт-Петербург, 2005.
3. Андре Анго. Математика для электро- и радиоинженеров, изд. «Наука», Москва, 1964, 772 с.
4. Хмельник С.И. Математическая модель электрического торнадо, ViXra, 2015-04-11, <http://vixra.org/abs/1504.0088>; DNA, № 33, 2015, см. [здесь](#).
5. Хмельник С.И. Вторая структура постоянного тока, ViXra, 2015-11-21, <http://vixra.org/abs/1511.0206>; DNA, № 35, 2016, см. [здесь](#).
6. Хмельник С.И. Поток электромагнитной энергии в проводнике с переменным током, ViXra, 2015-03-10, <http://vixra.org/abs/1503.0068>;
7. Хмельник С.И. Поток электромагнитной энергии в проводнике с постоянным током, DNA, № 32, 2015; ViXra, 2015-03-07, <http://vixra.org/abs/1503.0048>
8. Хмельник С.И. Структура постоянного тока, DNA, № 33, 2015; ViXra, 2015-03-29, <http://vixra.org/abs/1503.0241>
9. Хмельник С.И. Структура потока электромагнитной энергии в проводе с постоянным током, DNA, № 33, 2015; ViXra, 2015-04-08, <http://vixra.org/abs/1504.0061>